

III. 귀리 (1-3,1-4)-Beta-Glucanase 유전자의 특성 및 발현 양상

윤 성중*, David A. Somers

III. Characteristics and Expression Patterns of Oat (1-3,1-4)-Beta-Glucanase Genes

Song Joong Yun*, David A. Somers

University of Minnesota

실험목적

귀리의 생장 발달중 (1-3,1-4)-beta-glucanase의 생리적 역할을 분자유전학적 방법을 이용하여 규명하는데 필요한 정보를 얻기 위하여 (1-3,1-4)-beta-glucanase 유전자의 특성과 발현 양상을 조사 분석함.

재료 및 방법

(1-3,1-4)-beta-glucanase clone인 pOGL1의 염기서열을 토대로 (1-3,1-4)-beta-glucanase의 특성을 조사하고, Southern blotting과 Northern blotting을 이용하여 (1-3,1-4)-beta-glucanase gene/genome과 유전자의 발현부위 및 시기를 조사하였음.

실험결과 및 고찰

귀리의 (1-3,1-4)-beta-glucanase 유전자는 G/C 함량이 68%로 매우 높은 편이었으며 특히, 각 유전암호의 세번째 염기에대한 G/C 선호도는 97%로 대단히 높았다. (1-3,1-4)-beta-glucanase 유전자는 1 - 2 copy/genome이었으며 동 유전자의 mRNA는 발달중인 암, 유숙종자의 배유, 발아하는 종자의 호분층에서 높은 수준으로 발현되었다. 유숙종자의 배유와 생장중인 암에서 (1-3,1-4)-beta-glucanase mRNA가 높은 수준으로 발현되고 (1-3,1-4)-beta-glucanase 활성이 있는 것은 (1-3,1-4)-beta-glucanase 가 종자발아 이외에, 귀리의 생장 발달 과정중 세포벽내 beta-glucan 대사를 필요로 하는 다른 생리작용에도 관여하고 있음을 의미하는 것으로 사료된다.

Table III Codon frequency of the mature polypeptide coding sequence of pOGL1

| Genetic cp ^a (%) ^b
code |
|--|--|--|--|
| TTT-Phe 0(.0) | TCT-Ser 0(.0) | TAT-Tyr 0(.0) | TGT-Cys 0(.0) |
| TTC-Phe 12(3.9) | TCC-Ser 8(2.6) | TAC-Tyr 17(5.6) | TGC-Cys 2(.7) |
| TTA-Leu 0(.0) | TCA-Ser 0(.0) | TAA- - 0(.0) | TGA- - 0(.0) |
| TTG-Leu 0(.0) | TCG-Ser 5(1.6) | TAG- - 0(.0) | TGG-Trp 4(1.3) |
| CTT-Ile 1(.3) | CCT-Pro 2(.7) | CTT-His 0(.0) | CGT-Arg 0(.0) |
| GTC-Ile 8(2.6) | CCC-Pro 5(1.6) | CCC-His 5(1.6) | CCG-Arg 2(.7) |
| CTA-Leu 0(.0) | CCA-Pro 0(.0) | CAA-Gln 0(.0) | CGA-Arg 0(.0) |
| CTG-Leu 9(2.9) | CCG-Pro 11(3.6) | CGG-Gln 14(4.6) | CGG-Arg 3(1.0) |
| ATT-Ile 0(.0) | ACT-Thr 0(.0) | AAT-Asn 0(.0) | AGT-Ser 1(.3) |
| ATC-Ile 10(3.3) | ACC-Thr 10(3.3) | AAC-Asn 21(6.9) | AGC-Ser 9(2.9) |
| ATA-Ile 0(.0) | ACA-Thr 0(.0) | AAA-Lys 0(.0) | AGA-Arg 0(.0) |
| ATG-Met 11(3.6) | ACG-Thr 5(1.6) | AGG-Lys 6(2.0) | AGG-Arg 2(.7) |
| GTT-Val 2(.7) | GCT-Ala 3(1.0) | GAT-Asp 0(.0) | GGT-Gly 0(.0) |
| GTC-Val 8(2.6) | GCC-Ala 24(7.8) | GAC-Asp 8(2.6) | GGC-Gly 24(7.8) |
| GTA-Val 0(.0) | GCA-Ala 0(.0) | GAA-Glu 0(.0) | GGA-Gly 1(.3) |
| GTG-Val 20(6.5) | GCG-Ala 16(5.2) | GAG-Glu 7(2.3) | GGG-Gly 10(3.3) |

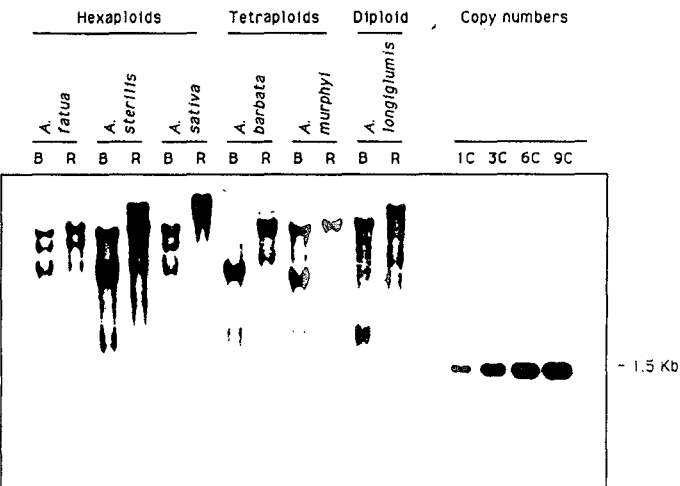
^a Codon frequency/mature polypeptide coding sequence^b [a/total number of codons (~306)] x 100

Fig. Southern blot reconstructions of oat genomic DNA (21 µg) digested with restriction enzyme BglII (B) or EcoRV (R). The blot was washed, following hybridization, to a final stringency of 0.2X SSC and 0.1% SDS at 65°C for 1 hr. Lane IC, 3C, and 9C are reconstructions containing 1C, 3C, 6C, and 9C equivalent of pOGL1 insert DNA, respectively.

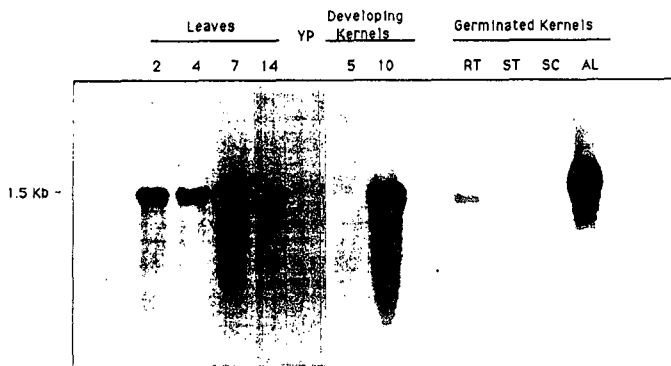


Fig. Northern blots of poly(A)⁺ RNA preparations from developing primary leaves 2, 4, 7, and 14 days after emergence from coleoptiles (DAB), young panicles (YP), developing kernels 5 and 10 days after anthesis, and roots (RT), shoots (ST), scutellum (SC), and aleurone layers (AL) of kernels germinated for 5 days, respectively. 1 µg of poly(A)⁺ RNA was loaded in each lane except lanes for 5 and 10 day-old developing kernels where 3 µg of poly(A)⁺ RNA was loaded. Blots were hybridized with the random-primer pOGL1 insert DNA probe and washed to a final stringency of 0.2X SSC and 0.1% SDS at 65°C for 30 min.